

愛知県におけるコビレゴンドウ漂着の初記録

岡村太路¹⁾・三岡夏美²⁾・中山晃輔¹⁾・杉山響己¹⁾・西 浩孝³⁾・安井謙介³⁾

First record of a stranded short-finned pilot whale (*Globicephala macrorhynchus*) in Aichi Prefecture, Japan

Taro Okamura¹⁾, Natsumi Mitsuoka²⁾, Kosuke Nakayama¹⁾, Hibiki Sugiyama¹⁾,
Hirotaka Nishi³⁾ and Kensuke Yasui³⁾

はじめに

コビレゴンドウ *Globicephala macrorhynchus* (Gray, 1846) は、鯨偶蹄目マイルカ科に属するハクジラ類である。本種は熱帯から温帯域の外洋に広く分布し、日本周辺では北海道の太平洋沿岸から沖縄県の八重山諸島に至るまで、目視観察および座礁・漂着記録が報告されている (Jefferson et al., 1993; Kanaji et al., 2016; 粕谷, 2011)。しかし、東海地方 (静岡県・愛知県・三重県) での座礁・漂着例は 2021 年の三重県熊野市での 1 事例のみと極めて少なく、同地域は座礁・漂着分布の空白地帯となっていた (国立科学博物館, 2025a)。本報告では、この空白地帯を埋める 2025 年 8 月に遠州灘に面する愛知県豊橋市の海岸で発見されたコビレゴンドウの死体について報告する。

調査地および方法

2025 年 8 月 1 日午前 9 時頃、愛知県豊橋市伊古部町枇杷ヶ谷 57 (34° 39' 29.2" N, 137° 23' 31.9" E) の遠州灘沿岸 (通称: 表浜) において鯨類死体の漂着が発見された (第 1 図 A, B)。なお、前日の 7 月 31 日午後 5 時頃に、約 500 m 東方の同市高塚町名操の海岸にて形態の類似した漂着鯨類が確認されており、31 日から 1 日にか

けて流出後、同一個体が再漂着したものと推察された。発見時、漂着個体は体幹の膨張、胸ビレの外転、頭部左側の表皮剥離など分解の進行が観察されたが、背ビレや尾ビレなど分解初期に失われやすい部位 (Geraci and Lounsbury, 2005; Ramos et al., 2024) は明瞭かつ自立した状態であった。これにより、Geraci and Lounsbury (2005) が定義する分解段階の Code II に該当すると判断された。

2025 年 8 月 2 日正午頃、漂着現場において調査を実施した。外部形態の計測は、国立科学博物館の海棲哺乳類計測用紙 (国立科学博物館, 2025b) に基づき、0.1 cm 単位で実施した。体長に対する各部位の割合を算出し、先行研究におけるコビレゴンドウおよび近縁のヒレナガゴンドウ *Globicephala melas* (Traill, 1809) の外部計測値 (Betty et al., 2022; Gonzalez et al., 2000; 中村ほか, 2024; Norris and Prescott, 1961; Sergeant, 1962; Yonekura et al., 1980) と比較した。個体は伏臥および左側臥姿勢で、iPhone 15 Pro (Apple Inc.) を用いて全身を多角的に撮影し、Polycam (Polycam Inc.) によるフォトグラメトリで 3D データを取得した (第 1 図 C)。また、胸ビレ・背ビレ・尾ビレは胴体から分離後に 3D スキャナを用いて点群データを取得した。このうち、全身の 3D データは Morphosource (www.morphosource.org/projects/000794130) で公開している。本個体の全身骨格は豊橋市自然史博物館に TMNH-MA-714 として収蔵

1) 名古屋大学大学院環境学研究科。Graduate School of Environmental Studies, Nagoya University, Furo-cho, Chikusa-ku, Nagoya, Aichi Prefecture, 464-8601, Japan.

2) 東京農業大学大学院農学研究科。Graduate School of Bioresource Development, Tokyo University of Agriculture, 1737 Funako, Atsugi, Kanagawa, 243-0034, Japan.

3) 豊橋市自然史博物館。Toyohashi Museum of Natural History, 1-238 Oana, Oiwa, Toyohashi, Aichi 441-3147, Japan.

Corresponding author: Taro Okamura. E-mail: tarokamura@gmail.com

原稿受付 2025 年 11 月 14 日。Manuscript received Nov. 14, 2025.

原稿受理 2025 年 12 月 4 日。Manuscript accepted Dec. 4, 2025.

キーワード: 鯨類, ストランディング, フォトグラメトリ, 外部形態計測。

Key words: cetacean, stranding, photogrammetry, external measurement.

され、背ビレ、尾ビレおよび横隔膜（重さ 3.04 kg）は名古屋大学で保管された（登録番号なし）。なお、解体残渣は現地に埋却した。

結果および考察

本個体は体長 369.2 cm、全身が黒色で胴体には明瞭な模様は確認されなかった。頭部には明瞭な吻部は認められず、球状にメロンが発達していた（第 1 図 C）。背ビレは鎌状で、その先端が上顎先端から体長の約 40% の位置にあり、先行研究に報告されたゴンドウクジラ属の形態的特徴とよく一致していた（第 1 表）。また、胸ビレは細長い、その長さの体長比はヒレナガゴンドウに比べると明らかに小さく（第 1 表）、漂着地点（北西太平洋域）もヒレナガゴンドウの分布域（北大西洋および南半球）と異なっていた（Jefferson et al., 1993; Olson, 2018）。これらの情報を総合し、本個体はコビレゴンドウと同定された。さらに、生殖孔の位置と体腔内の子宮の存在から本個体はメスと判断され、Kasuya and Matsui (1984) の体長と性成熟具合の関係から成熟個体 (mature) と推定された。

コビレゴンドウは、太平洋側において黒潮前線を境に北方型のタッパナガと南方型のマゴンドウの二地方

型が知られ、背ビレ後方の鞍形斑の明瞭さによって判別される (Kasuya et al., 1988)。本個体は、漂着地点が黒潮前線の南側に位置し、背ビレ後方に明瞭な鞍形斑が確認されなかったことから、マゴンドウ型であると考えられる。ただし、遺伝的分布に基づく、本漂着地点は両地方型の分布域が重なる地域に位置するため (Van Cise et al., 2019)、今後の詳細な遺伝解析による検証が待たれる。

本個体の体表には、複数の円形咬痕と歯形傷が観察された。明瞭な円形咬痕は 3 箇所を確認され、脇下付近の腹部左右各 1 箇所と、右側側の尾部に 1 箇所であった。これらの咬痕はいずれも直径約 6 cm で大きさが共通していた。これらの咬痕は、その形状と大きさからダルマザメの仲間によるものと推測された (e.g. Gasparini and Sazima, 1996; Walker-Milne et al., 2025)。一方で、打撲痕、裂創、切創、漁具やロープによる絡網痕 (Byard et al., 2013) などの顕著な外傷は確認されなかった。また、頸部の明瞭化や棘突起の突出といった削瘦の兆候 (Joblon et al., 2014) も見られなかった。したがって、本個体の直接的な死因は少なくとも外傷や顕著な衰弱ではなかったと推定された。

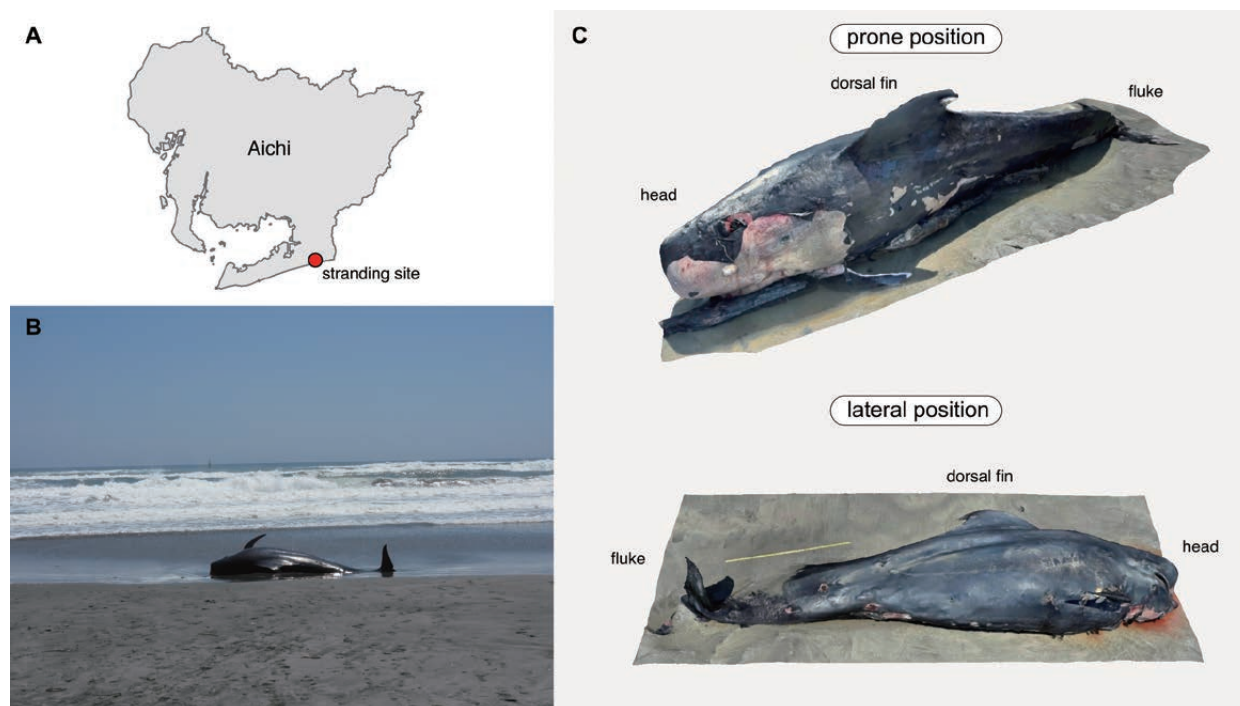
コビレゴンドウの座礁・漂着記録は、日本各地で少なくとも 49 例が知られている (e.g. 国立科学博物館,

第 1 表. 漂着個体 (TMNH-MA-714) と先行研究におけるコビレゴンドウおよびヒレナガゴンドウの外部計測値 (cm) と体長比 (%). 先行研究の値は、雌雄別に成体個体の頭数 (N) に基づく平均値を示す。

Table 1. External measurements (cm) and body length proportions (%) of the stranded individual (TMNH-MA-714), compared with sex-specific means (N) for adult *Globicephala macrorhynchus* and *G. melas* from previous studies.

species	<i>G. macrorhynchus</i>										<i>G. melas</i>																
	Ref.	country	N1	USA		JPN		ESP		JPN		S	B		NZ												
	this study	JPN	USA	USA	JPN	JPN	ESP	ESP	JPN	JPN			NZ	NZ													
N	1	1	4	70	13	6	3	1	2	21	27	37	14														
sex	F	F	M	F	M	F	M	F	M	F	M	F	M	F	M												
	cm	%	cm	%	cm	%	cm	%	cm	%	cm	%	cm	%	cm	%											
BL	369.2		424.0		445.5		366.4		452.9		388.7		395.7		420.0		522.5		352.6		431.1		431.9		550.0		
SEY	28.5	7.7	38.1	9.0	37.7	8.5	35.9	9.8	43.0	9.5	36.8	9.5	37.5	9.5	42.0	10.0	44.5	8.5	37.6	10.7	41.8	9.7	-	-	-	-	
SAG	21.5	5.8	30.5	7.2	33.9	7.6	29.4	8.0	37.1	8.2	30.0	7.7	32.0	8.1	35.0	8.3	36.5	7.0	-	-	-	-	30.4	7.0	34.7	6.3	
SBH	33.9	9.2	64.8	15.3	39.1	8.8	36.5	9.9	42.8	9.4	-	-	-	-	39.0	9.3	40.5	7.8	37.7	10.7	41.4	9.6	40.2	9.3	47.2	8.6	
SEA	35.6	9.6	-	-	-	-	-	-	-	-	-	-	53.0	13.4	48.0	11.4	60.0	11.5	-	-	-	-	-	-	-	-	
SAF	58.0	15.7	86.4	20.4	74.3	16.7	117.1	32.0	149.6	33.0	62.2	16.0	63.7	16.1	69.0	16.4	72.5	13.9	58.7	16.7	66.9	15.5	68.1	15.8	78.5	14.3	
SAD	82.6	22.4	-	-	118.5	26.6	-	-	-	-	-	-	-	-	105.0	25.0	117.5	22.5	-	-	-	-	-	-	-	-	
STD	156.2	42.3	-	-	-	-	155.4	42.4	195.8	43.2	180.7	46.5	189.7	47.9	-	-	-	-	172.1	48.8	221.7	51.4	220.2	51.0	270.9	49.3	
SUM	148.8	40.3	-	-	-	-	169.1	46.2	185.0	40.8	-	-	172.5	43.6	178.0	42.4	209.5	40.1	142.5	40.4	166.6	38.6	-	-	-	-	
SGA	226.9	61.5	-	-	-	-	235.3	64.2	248.2	54.8	236.3	60.8	228.0	57.6	236.0	56.2	265.0	50.7	-	-	-	-	240.2	55.6	272.8	49.6	
SAN	238.1	64.5	-	-	-	-	248.8	67.9	295.2	65.2	253.7	65.3	256.0	64.7	276.0	65.7	334.5	64.0	226.7	64.3	268.6	62.3	273.4	63.3	333.2	60.6	
ALF	65.7	17.8	55.9	13.2	81.8	18.4	60.1	16.4	-	-	69.2	17.8	67.7	17.1	67.0	16.0	89.0	17.0	81.3	23.1	106.2	24.6	85.5	19.8	113.7	20.7	
FW	19.6	5.3	22.8	5.4	28.0	6.3	18.3	5.0	24.6	5.4	18.8	4.8	21.3	5.4	-	-	27.0	5.2	-	-	-	-	23.1	5.3	30.1	5.5	
BDF	96.5	26.1	-	-	73.9	16.6	68.9	18.8	98.7	21.8	74.7	19.2	77.7	19.6	67.0	16.0	92.0	17.6	61.1	17.3	78.7	18.3	-	-	-	-	
MDF	39.3	10.6	-	-	34.9	7.8	27.5	7.5	41.2	9.1	25.2	6.5	29.3	7.4	27.0	6.4	38.0	7.3	22.7	6.4	28.1	6.5	25.4	5.9	34.6	6.3	
SF	103.1	27.9	89.0	21.0	104.5	23.5	91.4	24.9	119.5	26.4	95.0	24.4	104.0	26.3	-	-	-	-	-	-	-	-	-	92.2	21.3	125.0	22.7
PFN	26.3	7.1	-	-	-	-	27.4	7.5	34.3	7.6	25.5	6.6	29.3	7.4	-	-	-	-	-	-	-	-	-	-	-	-	

Reference abbreviation: N1, Norris and Prescott, 1961; Y, Yonekura et al., 1980; G, Gonzalez et al., 2000; N2, Nakamura et al., 2024; S, Sergeant, 1962; B, Betty et al., 2022. External measurement abbreviation: BL, Body length; SEY, Snout-center of eye; SAG, Snout-angle of gape; SBH, Snout-center of blowhole; SEA, Snout-ear; SAF, Snout-anterior insertion of flipper; SAD, Snout-anterior insertion of dorsal fin; STD, Snout-tip of dorsal fin; SUM, Snout-umbilicus; SGA, Snout-genital aperture; SAN, Snout-anus; ALF, Anterior length of flipper; FW, Maximum width of flipper; BDF, Basal length of dorsal fin; MDF, Maximum height of dorsal fin; SF, Span of flukes; PFN, Length from nearest point on anterior border of flukes to notch Caudal peduncle width.



第1図. 調査個体 (TMNH-MA-714) の漂着地点 (A), 遠景 (B, 撮影: 杉山響己), および伏臥・左側臥姿勢で撮影された調査個体のフォトグラメトリに基づく3次元データ (C).

Figure 1. Stranding site (A), distant view (B; photo by Hibiki Sugiyama), and photogrammetry data (C) of the stranded individual (TMNH-MA-714) in prone and left lateral position.

2025a; 中村ほか, 2024). 一方で, 上述のように東海地方での記録は極めて稀であり, 三重県熊野市での事例に次いで本例が2例目となる. さらに, 愛知県および遠州灘沿岸では初めての記録であり, 同地域における分布情報を補完する. コビレゴンドウは外洋性の鯨類で, 通常は数十~数百頭規模の群れを形成して行動することが知られている (Jefferson et al., 1993; Olson, 2018). このため, 今回の単独での漂着は当該海域における常在的な生息を示すものではなく, 迷い込みや死体漂流による偶発的な漂着であった可能性が高い. ただし, 漂着直前に本個体を含む群れが遠州灘近海を通過していた可能性もあり, 将来的にコビレゴンドウの地域的な出現状況や広域的な行動パターンを比較していく上で有用な観察記録となるだろう.

謝辞

本個体の発見・報告および回収に際しては, 豊橋市役所産業部農業支援課および環境部環境保全課に協力をいただいた. 調査においては国立科学博物館の塩崎彬氏と西間庭恵子氏にご尽力いただいた. また, 回収と解体作業では, 豊橋市自然史博物館ボランティアの加藤利依氏, 鈴木愛子氏, 林 農子氏, 林 遼介氏に

ご助力をいただいた. 皆さまに感謝申し上げます.

引用文献

- Betty, E. L., Stockin, K. A., Hinton, B., Bollard, B., Smith, A. N. H., Orams, M. B. and Murphy, S., 2022. Age, growth, and sexual dimorphism of the Southern Hemisphere long-finned pilot whale (*Globicephala melas edwardii*). *Journal of Mammalogy*, **103**: 560–575.
- Byard, R.W., Machado, A., Woolford, L., Boardman, W., 2013. Symmetry: the key to diagnosing propeller strike injuries in sea mammals. *Forensic Science, Medicine Pathology*, **9**: 103–105.
- Gasparini, J. and Sazima, I., 1996. A stranded melon-headed whale, *Peponocephala electra*, in southeastern Brazil, with comments on wounds from the cookiecutter shark, *Isistius brasiliensis*. *Marine Mammal Science*, **12**: 308–312.
- Geraci, J. R., and Lounsbury, V. J., 2005. *Marine mammals ashore: A field guide for strandings* (2nd ed.). National Aquarium in Baltimore, Baltimore, 371 p.
- Gonzalez, A., Fernandez, A. and Valeiras, J., 2000. First recorded mass stranding of short-finned pilot whales (*Globicephala macrorhynchus*) in the northeastern Atlantic. *Marine Mammal Science*, **16**: 640–646.
- Jefferson, T. A., Leatherwood, S. and Webber, M. A., 1993. *Marine mammals of the world: FAO species identification guide*. FAO, Rome,

320 p.

- Joblon, M. J., Pokras, M. A., Morse, B., Harry, C. T., Rose, K. S., Sharp, S. M. and Moore, M. J., 2014. Body condition scoring system for delphinids based on short-beaked common dolphins (*Delphinus delphis*). *Journal of Marine Animals and Their Ecology*, **7**: 5–13.
- Kanaji, Y., Okazaki, M., Watanabe, H. and Miyashita, T., 2016. Biogeography of small odontocetes in relation to wide-scale oceanographic structure in the North Pacific Ocean. *Fisheries Oceanography*, **25**: 119–132.
- Kasuya, T. and Matsui, S., 1984. Age determination and growth of the short-finned pilot whale off the Pacific coast of Japan. *Scientific Reports of the Whales Research Institute*, **35**: 57–92.
- Kasuya, T., Miyashita, T. and Kasamatsu, F., 1988. Segregation of two forms of short-finned pilot whales off the Pacific coast of Japan. *Scientific Reports of the Whales Research Institute*, **39**: 77–90.
- 粕谷俊雄, 2011. イルカ: 小型鯨類の保全生物学. 東京大学出版会, 東京, 640 p.
- 国立科学博物館, 2025a. ストラディングデータベース. <https://www.kahaku.go.jp/research/db/zoology/marmam/drift/index.php> (2025年9月30日閲覧).
- 国立科学博物館, 2025b. 海棲哺乳類計測用紙. https://www.kahaku.go.jp/research/db/zoology/marmam/recording_sheet/download/ObservSheet_grampus.pdf (2025年9月30日閲覧).
- 中村潤平・柏木伸幸・伊藤大介・大竹郁花・能登文香・西田伸・田島木綿子・山田格, 2024. 鹿児島県の薩摩半島西岸に漂着した4個体のコビレゴンドウ (*Globicephala macrorhynchus*). *日本セトロジー研究*, (34): 9–13.
- Norris, K. S. and Prescott, J. H., 1961. Observations on Pacific cetaceans of Californian and Mexican waters. *University of California Publications in Zoology*, **63**: 291–402.
- Olson, P. A., 2018. Pilot whales: *Globicephala melas* and *G. macrorhynchus*. Würsig, B., Thewissen, J. G. M. and Kovacs, K. M. (eds.), *Encyclopedia of Marine Mammals* 3rd edition, Academic Press, London, 701–705.
- Ramos, H. G. da C., Colosio, A. C., Marcondes, M. C. C., Lopez, R. P. G., Michalski, B. E., Ghisolfi, R. D., Fontes, F. C., Dapper, C. G., Baumgarten, J. E., Campos, R. de O. and Bovendorp, R. S., 2024. Postmortem interval applied to cetacean carcasses: Observations from laboratory and field studies with the Abrolhos Bank Region, Brazil. *Forensic Science International: Animals and Environments*, **5**: 100082.
- Sergeant, D. E., 1962. On the external characters of the blackfish or pilot whales (genus *Globicephala*). *Journal of Mammalogy*, **43**: 395–413.
- Van Cise, A. M., Baird, R. W., Baker, C. S., Cerchio, S., Claridge, D., Fielding, R., Hancock-Hanser, B., Marrero, J., Martien, K. K., Mignucci-Giannoni, A. A., Oleson, E. M., Oremus, M., Poole, M. M., Rosel, P. E., Taylor, B. L., and Morin, P. A., 2019. Oceanographic barriers, divergence, and admixture: Phylogeography and taxonomy of two putative subspecies of short-finned pilot whale. *Molecular Ecology*, **28**: 2886–2902.
- Walker-Milne, N. L., Papastamatiou, Y. P., Mahaffy, S. D. and Baird, R. W., 2025. Dynamics of foraging interactions between cookiecutter sharks (*Isistius* spp.) and short-finned pilot whales (*Globicephala macrorhynchus*) in Hawai'i. *Marine Biology*, **172**: 1–12.
- Yonekura, M., Matsui, S. and Kasuya, T., 1980. On the external characters of *Globicephala macrorhynchus* off Taiji, Pacific coast of Japan. *Scientific Reports of the Whales Research Institute*, **32**: 67–95.